

SDS/BA/H₂O 体系的扩散系数与结构特性

刘天晴 郭 荣 于卫里 沈 明
(扬州大学师范学院化学系, 扬州 225002)

摘要 在无探针条件下, 用电化学方法测定了 SDS/BA/H₂O 三组分体系的扩散系数和扩散活化能。结果表明, L₁ 区域由 O/W 结构微乳液与油、水双连续结构微乳液(BI)两个小区域组成, 并不是单一的 O/W 区域。在 O/W 区域内, 微乳液以液滴状态存在, 具有较好的扩散性能和较小的扩散活化能; 在 BI 区域, 水与 BA 同作为连续相与被增溶相存在, 缔合体系呈网络结构, 扩散性能较低, 扩散活化能较大。

关键词: 循环伏安法, 扩散系数, 活化能, 微乳液, 胶束

微乳液通常是由表面活性剂、助表面活性剂、油与水等组成的低粘度、外观透明、各向同性的热力学稳定体系^[1]。作为微乳液的基体, 表面活性剂、助表面活性剂、水三组分体系, 与四组分微乳液体系具有相同的性质。因此, 为了研究方便, 人们通常以表面活性剂、助表面活性剂、水三组分微乳液基体来研究微乳液的各种性质^[1-2]。SDS(十二烷基硫酸钠)/BA(苯甲醇)/H₂O 体系具有表面活性剂多组分缔合体体系的典型特征, 我们曾经以相图法测定了该体系中各向同性的富 BA 单相区域 L₂、富水单相区域 L₁、层状液晶区域 L_C 和六角状液晶区域 Hex 等四个区域在 SDS/BA/H₂O 三组分体系相图中的位置, 并以小角 X 射线衍射测定了该体系中层状液晶和六角状液晶的结构特征, 但对各向同性的富水相区域 L₁ 内 SDS 缔合体的结构情况, 未能作详细的研究, 仅按常规, 作为 O/W 结构处理^[3]。

电化学测量是一种简便、快速的研究方法, 近年来已开始被应用于微乳液的有关研究^[4-6]。我们曾以电化学方法测定了 SDS/H₂O 体系与 SDS/C₂H₅OH/H₂O 体系的扩散系数, 并由此提出一种测定胶束第二 CMC 的新方法^[7]; 讨论了乙醇对 SDS 胶束扩散系数的影响, 以及乙醇在 SDS 胶束体系中的定位^[8]。本文则以电化学方法测定了 SDS/BA/H₂O 三组分体系的扩散系数与扩散活化能, 进而研究了该体系的 L₁ 区域的结构特性。结果表明, L₁ 区域由 O/W 结构微乳液与油、水双连续结构微乳液两个小区域组成。

1 实验部分

1.1 试剂

十二烷基硫酸钠(SDS), 分析纯, 经无水乙醇两次重结晶提纯, 纯化物经铂环法测其表面张力在 CMC 附近无最低点。苯甲醇(BA)为分析纯, 水为二次蒸馏水。

1996-08-26 收到初稿, 1997-01-18 收到修改稿, 联系人: 郭 荣 * 国家教委优秀青年教师基金资助项目

1.2 实验方法

1.2.1 相图测定同文献 [3].

1.2.2 扩散系数的测定

以铂电极为辅助电极, 饱和 $\text{Hg}_2\text{Cl}_2/\text{Hg}$ 作参比电极, 以 213 型铂电极作研究电极, 组成三电极体系。在恒定 25 ℃下, 通氮气 12 分钟, 由恒电位仪给出 SDS 在铂电极上的循环伏安曲线。由伏安曲线峰电流可算出胶束的扩散系数。

2 结果与讨论

2.1 SDS/BA/H₂O 体系的循环伏安曲线与扩散系数

SDS 在铂电极上的可逆性已在文献 [7] 中描述, 图 1 则表示了 SDS/BA/H₂O 体系典型的循环伏安曲线。根据可逆电极峰电流与电位扫描速率的关系, 在溶液浓度与扩散系数之间存在下列关系式 [9].

$$i_p = 2.69 \times 10^5 n^{3/2} c_0 D_0^{1/2} A v^{1/2} \quad (1)$$

式中 i_p 为阳极峰电流 (安培); n 为反应物质电荷传递数, n 值可由峰电势 E_p 和半峰电势 $E_{p/2}$ 求出 [9], 对于 SDS 在铂电极上的电化学反应, $n \approx 1$; c_0 为溶液的浓度 ($\text{mol}\cdot\text{cm}^{-3}$); v 为恒电位时电位扫描速率 ($\text{V}\cdot\text{s}^{-1}$); D_0 为粒子的扩散系数 ($\text{cm}^2\cdot\text{s}^{-1}$); A 为电极的面积 (cm^2). 由上式即可求出 SDS/BA/H₂O 体系的扩散系数。

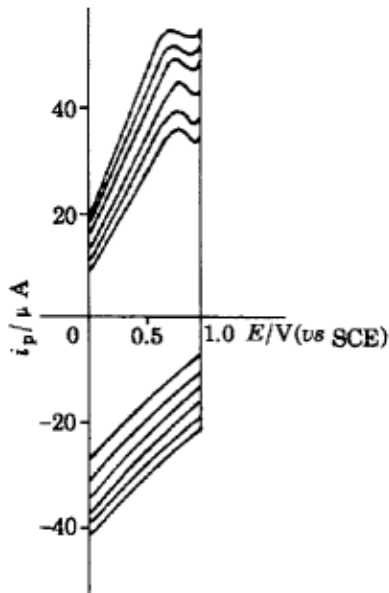


图 1 SDS 在铂电极上循环伏安图

Fig.1 Cyclic voltammogram at platinum electrode for SDS

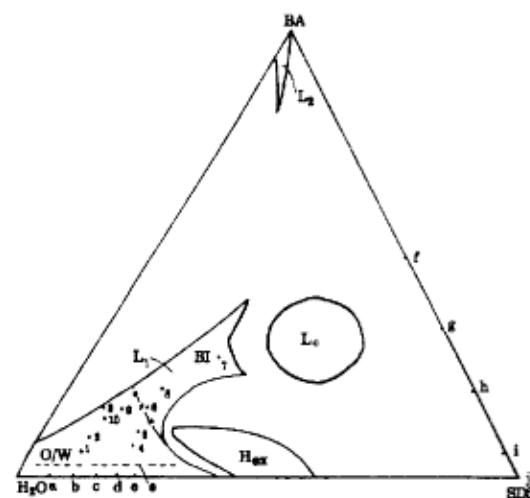


图 2 SDS/BA/H₂O 体系的部分相图

Fig.2 Partial phase diagram of SDS/BA/H₂O system

2.2 扩散系数与结构特性

图 2 表示了 SDS/BA/H₂O 三组分体系部分相图, 图中 L_1 和 L_2 为各向同性区域, L_c 为层状液晶区域, H_{ex} 为六角状液晶区域。 L_c 与 H_{ex} 区域内的结构特性已由小角 X 射线衍射测定 [3].

L_2 区域与组分 BA 角相连，且区域很小，一般认为具有 W/O 结构。 L_1 区域与 H_2O 角相连，似乎应为 O/W 区域，然而，本研究的扩散系数测定结果表明并非如此简单。

图 3 表示了恒定质量比 SDS/ H_2O 条件下， L_1 区域内 SDS 缔合体的扩散系数随 BA 含量的变化。由图可见，质量比 SDS/ H_2O 为 5/95 和 10/90 时，扩散系数 D 随 BA 含量增加而增大。质量比 SDS/ H_2O 为 16/84 时，BA 含量在 1 ~ 16% 范围内增加，扩散系数 D 增加；当 BA 含量 (w , 质量分数, 下同) 增加到 16% 时，扩散系数突然急剧下降；进一步增加 BA 含量，扩散系数略有下降。其后，随着质量比 SDS/ H_2O 增加，扩散系数变化趋势同前述一致。但扩散系数先增加后降低的幅度有所减少，且扩散系数突变点所对应的 BA 含量减少。将此突变点在相图上标出，并以曲线相连，此曲线恰好与 L_1 区域右下部的相线连接，将 L_1 区域分隔成两个小区域。

在 O/W 微乳液中，助表面活性剂总是存在于表面活性剂膜相中，以降低表面活性剂极性基团之间的静电作用，增加体系的稳定性。助表面活性剂含量的增加，则会引起 O/W 液滴的聚集数降低。在 BA/SDS/ H_2O 体系中，小角 X 射线衍射测量已证明 BA 恰是存在于层状液晶与六角状液晶的两亲双层中^[3]。分配系数测定表明^[3]，在低 SDS 含量下，SDS 胶束相与水连续相之间的分配系数 $K=168$ ，BA 分子基本上都存在于 SDS 胶束相内。因此，如果图 2 中的 L_1 区域仅呈 O/W 结构，则在恒定质量比 SDS/ H_2O 条件下，随 BA 含量增加，SDS/BA/ H_2O 体系的 O/W 液滴聚集数逐渐降低，扩散系数逐渐增加，而不可能出现图 3 所示急剧降低或突变。显然，图 3 所示扩散系数 D 的规律突变，暗示了 L_1 区域内 SDS/BA/ H_2O 缔合体在结构上的变化。

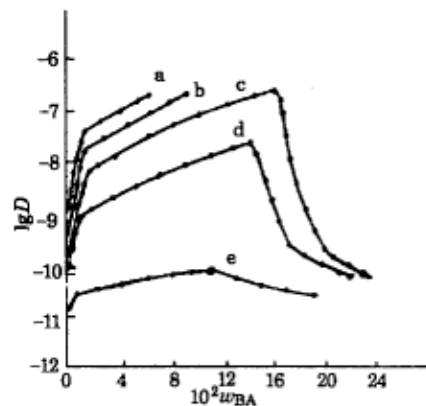


图 3 在质量比 SDS/ H_2O 恒定下， $\lg D$ 与 BA 含量关系图

Fig.3 Diffusion coefficient of micelle with BA concentration at constant mass ratios of SDS/ H_2O
SDS/ H_2O : a) 5/95 b) 10/90
c) 16/84 d) 18/82 e) 22/78
(Sample numbers are similar to Fig.2)

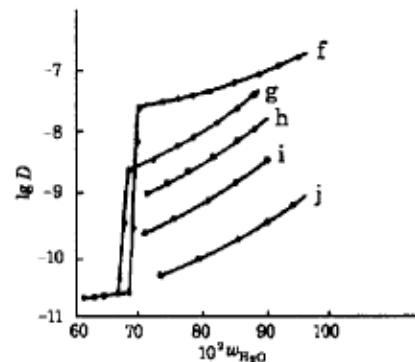


图 4 在质量比 BA/SDS 恒定下， $\lg D$ 与 H_2O 含量关系图

Fig.4 Diffusion coefficient of micelle with H_2O concentration at constant mass ratios of BA/SDS
BA/SDS: f) 50/50 g) 33/67
h) 20/80 i) 6/94 j) 0/100
(Sample numbers are similar to Fig.2)

根据增加助表面活性剂时微乳液结构的一般转变规律：O/W → 油、水双连续结构 → W/O，结合图 3 中所示扩散系数值的变化，可以认为 L_1 区域内靠近 H_2O 角的小区域呈 O/W 结构，BA 含量较高的上部小区域为油、水双连续结构区域 (BI)。SDS 胶束体系的放电机理测定表明^[8]，

在水连续相中，SDS 胶束在电场作用下，迁移至电极附近，然后 SDS 在电极上放电，最终产物为醛。同理，在 SDS/BA/H₂O 体系 O/W 微乳液区域内，水为连续相，且微乳液以液滴状态存在，因而具有较好的扩散性能；相比较而言，在双连续区域内，一方面水与 BA 在同作为被增溶相存在的同时，亦同作为连续相存在，导电性能大幅度降低；另一方面，缔合体系呈网络结构，其尺寸很大于 O/W 区域内的球形液滴，迁移速率大幅度降低。这两种影响的综合效应，使得扩散性能急剧降低达三次方左右。

L_1 区域中 O/W 与 BI 两个具有不同结构小区域的存在，亦可由图 4 所示结果得到证明。由图 4 可见，在恒定质量比 BA/SDS 为 6/94、20/80 的条件下，随含水量增加，扩散系数呈单一增加。当质量比 SDS/BA 增加到 33/67 和 50/50 时，扩散系数曲线在 H₂O 含量 70% 左右出现突变，突变前后的扩散系数与图 3 所示值相对应，突跃点的水含量刚好落在图 2 中区分 O/W 与 BI 小区域的相界线上。同样，如 L_1 区域仅呈单一的 O/W 结构，含水量的增加只能增加水连续相的体积。因此，随含水量增加，O/W 微乳液液滴的扩散性能逐渐变化，扩散系数应逐渐增加，而不可能出现图 4 所示的突变。显然，随含水量增加，扩散系数在 BI 区域内具有低值，在 O/W 区域内具有高值，二者在数值上有 3 次方左右的差值，暗示了结构的变化。

注意到图 3 中随 BA 含量增加，扩散系数增加，但在 BA 含量 1 ~ 2% 有一个拐点，拐点前扩散系数增加较快，越过拐点后则扩散系数增加幅度变缓。将这些拐点在图 2 中标出，则在 O/W 小区域内又出现一个窄长的小区域 S。产生此种结果的原因可能是，在 SDS/H₂O 体系中，已经测得从球状胶束转变成棒状胶束的临界胶束浓度第二 CMC 为 $5.6 \times 10^{-2} \text{ mol} \cdot \text{L}^{-1}$ (1.6%)^[7]。在 SDS 浓度大于第二 CMC 的体系中，SDS 呈棒状胶束结构存在，BA 的加入，在降低聚集数的同时，可能会使得棒状胶束转变为球形胶束，从而使扩散系数迅速增加，其后，BA 的进一步加入，仅在于降低 O/W 缔合体的聚集数，使得扩散系数增加趋势变缓。

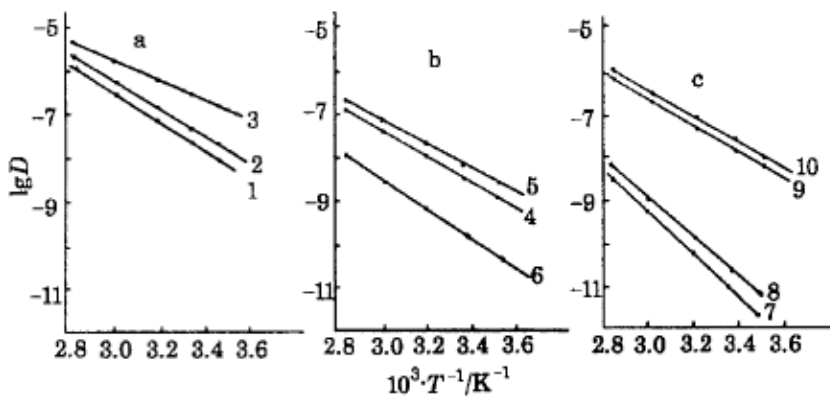


图 5 $\lg D$ 与 $1/T$ 关系图

Fig.5 Relation of $\lg D$ with $1/T$

a) SDS/H₂O=10/90 b) SDS/H₂O=20/80 c) SDS/BA=50/50

(Concentration of 1 ~ 10 samples label in Table 1)

2.3 扩散活化能

以扩散系数 D 代替阿累尼乌斯公式中的速率常数 k ，可得到表示扩散系数与扩散活化能 E_D

之间的关系式

$$\lg D = -\frac{E_D}{2.303RT} + C \quad (2)$$

以 $\lg D$ 对 $1/T$ 作图，即可得到有关体系的扩散活化能。图 5 与表 1 分别表示了所测体系的 $\lg D$ ~ $1/T$ 关系与扩散活化能 E_D 。结合图 2、图 5 与表 1 中数据可见，L₁ 区域内 SDS 缔合体的扩散系数随温度变化符合式 (2) 所示关系式；在恒定质量比 SDS/H₂O 下，随 BA 含量增加，O/W 区域内的扩散活化能 E_D 降低（样品 1, 2, 3, 4, 5），当体系进入 BI 区域，扩散活化能 E_D 增加（样品 6）；在恒定质量比 BA/SDS=50/50 条件下，在 BI 区域内，扩散活化能 E_D 值较高，且随含水量增加， E_D 略有降低（样品 7, 8），当体系进入 O/W 区域内，扩散活化能降低一半，并且随含水量增加而继续降低（样品 9, 10）。这些结果表明，在 BI 区域内，双连续结构的扩散系数较小，扩散过程所需能量较大，因而扩散活化能 E_D 较大。在 O/W 区域，O/W 液滴的扩散系数较大，扩散过程所需能量较小，因而扩散活化能 E_D 较小。

表 1 SDS 缔合体的扩散活化能

Table 1 Diffusion activation energy for SDS associating system

No.	SDS/H ₂ O (m/m)	SDS/BA (m/m)	composition(%)			E_D /kJ·mol ⁻¹
			SDS	BA	H ₂ O	
1	10/90		9.7	3.0	87.3	61.6
2	10/90		9.4	6.6	84.0	58.0
3	10/90		8.7	14.0	77.3	42.0
4	20/80		19.0	3.5	77.5	64.2
5	20/80		18.0	7.0	75.0	61.0
6	20/80		17.3	15.0	67.7	70.1
7		50/50	25.0	25.0	50.0	86.9
8		50/50	17.5	17.5	65.0	81.8
9		50/50	12.5	12.5	75.0	53.0
10		50/50	10.0	10.0	80.0	48.9

应当指出，虽然图 5 表明微乳液的扩散系数与温度之间的关系符合阿累尼乌斯公式，但所谓扩散活化能 E_D 的物理意义还是不明确的，此处我们只能简单地认为 E_D 与扩散过程所需的能量有关，而关于 E_D 的真实含义还需进一步研究。

参 考 文 献

- 1 Maurice B, Robert S S. Microemulsions and Related System, New York: Marcel Dekker, Inc, 1988, pp.127-199
- 2 Friberg S E, Bothorel P, Microemulsion: Structure and Dynamic, CRC Press, Boca Roton, FL, 1987, pp.150-218
- 3 沈 明, 刘天晴, 郭 萍. 物理化学学报, 1996, 12(10): 855
- 4 Stephanie A M, Mackay R A, Anna Brejter-Toth. Anal. Chem., 1993, 65:3447
- 5 Georges J, Chen J W. Colloid and Polymer Sci., 1986, 264:896

- 6 Kamau G N, Leiper T, Shukle S S. *J. Electroanal. Chem.*, 1987, 233:173
7 刘天明, 郭 荣, 沈 明, 于卫里. 物理化学学报, 1986, 2(4): 377
8 Liu Tianqing, Guo Rong, Song Genping. *J. Disp. and Tech. Sci.*, 1996, 17(5): 509
9 Bard A J, Faulkner L R. *Electrochemical Methods*, New York: John Wiley & Sons, 1980, p.215

Diffusion Coefficient and Structure Properties of SDS/BA/H₂O System

Liu Tianqing Guo Rong Yu Weili Shen Ming

(Department of Chemistry, Teacher's College of Yangzhou University, Yangzhou 225002)

Abstract Micelle diffusion coefficient and diffusion activation energy of SDS/BA/H₂O system are determined by electrochemical methods without any probe. The results show that L₁ area is not a single O/W microemulsion, it consists of two small regions — O/W microemulsion and oil-water bicontinuous microemulsion,. The microemulsion exists in liquid drop in O/W microemulsion and in net-structure in oil-water bicontinuous microemulsion. The diffusion property is better and diffusion activation energy smaller in the former than in the latter.

Keywords: Cyclic voltammogram, Diffusion coefficient, Activation energy, Microemulsion, Micelle